

FARKLI İSKELET YAPILARINDA DİK YÖN KRANYO-FASİYAL MORFOLOJİ, HYOID KEMİĞİNİN KONUMU VE BİRİNCİ SERVİKAL VERTEBRANIN MORFOLOJİSİNİN İNCELENMESİ*

Yrd. Doç. Dr. İsmail CEYLAN**

ÖZET: Bu çalışmada, farklı iskelet yapılarına sahip 13-15 yaşları arasında 45 kız 45 erkek toplam 90 bireyden doğal baş konumunda alınan lateral sefalometrik filmler üzerinde dik yön krano-fasiyal morfoloji, hyoid kemигinin konumu ve birinci servikal vertebranın morfolojisini inceledi. Elde edilen filmler ANB açısı esas alınarak; $ANB < 1^\circ$, $1^\circ \leq ANB \leq 5^\circ$ ve $ANB > 5^\circ$ olmak üzere iskelet yapılarına göre üç grubu, cinslere göre de iki alt grubu ayırdı. ANB açısı ve cinsiyetin dik yön krano-fasiyal morfoloji, hyoid kemигinin konumu ve birinci servikal vertebranın morfolojisini üzerine etkileri varyans analizi uygulanmak suretiyle araştırıldı. Bu analiz sonucunda, dik yön krano-fasiyal yapıların ANB açısındaki değişimden önemli düzeyde etkilenmediği bulundu. ANB açısı büyüdüklece hyoid kemигinin daha önde konumlandığı ve birinci servikal vertebranın lumen genişliğinin arttığı belirlendi. İncelenen yaş grubunda, krano-fasiyal yapılarının önemli cinsler arası farklılık göstermediği, hyoid kemигinin kızlarda daha yukarı ve geride konumlandığı ve birinci servikal vertebranın ön-arka uzunluğunun erkeklerde daha büyük olduğu gözlandı.

Anahtar Kelimeler: Farklı iskelet yapısı, Dik yön krano-fasiyal morfoloji, Hyoid kemig, Birinci servikal vertebra (Atlas).

SUMMARY: THE STUDY OF THE VERTICAL CRANIO-FACIAL MORPHOLOGY, HYOID BONE POSITION AND THE MORPHOLOGY OF THE FIRST CERVICAL VERTEBRA IN DIFFERENT SKELETAL PATTERNS In the present study, vertical craniofacial morphology, hyoid bone position, and morphology of the first cervical vertebra were examined on the lateral cephalometric head films of 45 female and 45 male subjects having different skeletal patterns. All of the subjects were aged 13 to 15 years old. The films were taken at natural head position, and all were divided into three groups according to ANB angle: ANB angles smaller 1° , between 1° and 5° and larger than 5° . In addition each group was also divided into two subgroups according to sex. The effects of the ANB angle and sex on the vertical craniofacial morphology, hyoid bone position, and the morphology of the first cervical vertebra were investigated by means of variance analysis. It has been found that vertical craniofacial morphology was not affected by the change of the ANB angle, and that the larger the ANB angle, the more forward the position of the hyoid bone was, and also the larger the lumen of the first cervical vertebrae became. In addition, it has been observed that there were no statistically significant difference between the vertical craniofacial measurements of the female and male subjects, and the positions of the hyoid bones of female subjects were more superior and posterior than those of male, and also that the antero-posterior dimensions of the first cervical vertebrae were larger in male subjects.

ween the vertical craniofacial measurements of the female and male subjects, and the positions of the hyoid bones of female subjects were more superior and posterior than those of male, and also that the antero-posterior dimensions of the first cervical vertebrae were larger in male subjects.

Key Words: Different skeletal pattern, Vertical cranio-facial morphology, Hyoid bone, First cervical vertebra (Atlas).

GİRİŞ

Dış, çene, yüz sistemi dışsel ve iskeletsel olarak ayrı ayrı sınıflandırılsa bile, gerek etyoloji ve tedavi gerekse de прогноз yönünden ortodontik düzensizlıkların iskelet yapısından bağımsız düşünülmesi söz konusu değildir (1). Ortodontik anomalilerin etyolojilerinin sefalometrik olarak araştırılmaya başlanılması ile, öncelikle sagital yön üzerinde incelemeler yapılmıştır (2). Sagital yön incelemelerinde ise üzerinde en fazla durulan husus alt ve üst çenenin ön-arka yön ilişkisi olmuştur. Freeman (3), Angle'in maloklüzyonlara ilişkin sınıflamasını oluşturmadan önce bile, alt ve üst çene arasındaki ön-arka yön ilişkisinin önemli bir teşhis kriteri olduğunu belirtmiştir.

Alt ve üst çene arasındaki ön-arka yön ilişkisinin belirlenmesi için ilk kez Downs (4), A ve B noktalarından yararlanarak A-B düzlemin açısını oluşturmuş, daha sonra Riedel (5) aynı noktaları kullanarak ANB açısını tanımlamıştır. Günümüzde de bu açı çenelerin ön-arka yön ilişkisini belirlemeye bu yaygın olarak kullanılan bir ölçüm olma özelliğini sürdürmektedir.

Sagital yön incelemeleri yanı sıra, baş ve yüzün vertikal ve transversal yön yapıları da gerek fonksiyon ve morfoloji açısından, gerekse karşılıklı ilişkiler açısından derinleşmesine incelenmiştir.

Ortodontinin giderek genişleyen ve farklılaşan ilgi alanı dış, çene, yüz sistemini aşarak başı, hatta vücutu fonksiyonel bir bütünlük olarak ele almış, dış, çene, yüz sistemi ile yakın ilişkiye sahip alanlardan başlanarak uzak yarılara doğru çalışma sahası genişlemiştir.

Bu aşamada ilgi çeken yapılarından biri de hyoid kemigidir. Bu kemik yapısal, işlevsel, konumsal ve diğer yapılarla ilişkisi yönünden incelenmeye başlanmış ve birçok önemli fonksiyonun göstergesi durumunda olduğu anlaşılmıştır.

* Bu Araştırma Türk Ortodonti Derneği'nin 4. Bilimsel Kongresinde Tebliğ Edilmiştir, 4-9 Eylül 1994, Sunrise-ANTALYA.

** Atatürk Üniv. Dişhek. Fak. Ortodonti Anabilim Dalı Öğretim Üyesi.

Solunum yollarının denge ve yeterliliğinin sürdürülmesi, dilin desteklenerek bu organın fonksiyonlarının gerçekleştirilmesi ve hayatı önem taşıyan organlar arasındaki ilişkinin sağlanması hyoid kemигinin önemli fonksiyonlarından yalnızca birkaçtır (6-10). Hyoid kemигinin konumu, yutkunma bozukluğu ve ağız solunumu gibi alışkanlıkların belirlenmesinde, yüz tipleri ve yüzün yapısal bozuklıklarının değerlendirilmesinde önemli bir tanı aracıdır (9, 11-13).

Hyoid pozisyonunun, mandibular yapı ve pozisyonla ilişkili olabileceği düşüncesi değişik iskelet tiplerinin incelenmesine sebep olmuştur (9). Bununla beraber bu alanındaki çalışmalar farklı sonuçlar göstermiştir. Ingerval ve arkadaşları (14) ve Ingerval (15), maloklüzyon tipi ve hyoid konumu arasında önemli ilişkiler bulurken, Grant (16) ve Subtelny ve Sakuda (17) genelde önemli düzeyde ilişkiler bulamamışlardır. Cuozzo ve Bowman (18) ve Gobeille ve Bowman (19) ise, sınıf I yapı içerisinde, alt çene ile ilgili olarak hyoid kemигinin konumunda değişimler rapor etmişlerdir.

Diş, çene, yüz sistemi ile baş ve boyun bölgesinin yapısal ilişkileri yanı sıra konumsal ilişkilerin de incelenmesi ile, baş ve boyun postürü kavramı ortaya çıkmıştır (20). Daha sonra baş ve boyun postürü ile diş, çene, yüz sistemi arasındaki yapısal ve konumsal ilişkiler derinlemesine incelenerek, önemli düzeyde ilişkiler bulunmuştur (10, 12, 20-27).

Baş ve boyun, merkezi oksipital kondiller seviyesinde olan bir kaldıraç sistemine benzer. Baş postürünün dikleşmesi için, vertebral kolon üzerinde basın dengelenmesi gereklidir. Bu denge, oksipital kondillere göre eşit ön ve arka bölge kas gerilimi ile sağlanır (28). Baş ve vertebral kolon arasında birleştirici bir eleman olan birinci servikal vertebra (atlas), postural dengenin sağlanmasıında çok önemli bir işleve sahiptir. Bu itibarla atlas ve kranyum, fonksiyonel olarak anatomik bir bütünlük şeklinde dikkatle ele alınmalıdır (29).

Yeterli olmamakla beraber son dönemlerde bu kemik hem yapısal ve konumsal açıdan, hem de kranyofasiyal yapılarla ilişkisi açısından incelenmeye başlanmıştır ve değişik düzeylerde önemli ilişkiler ortaya konulmuştur (29-32).

Tüm bu faktörlerin ışığı altında takdim edilen çalışmada amacımız, ön-arka yönde farklı yüz iskeleti yapısına sahip bireylerde, dik yön kranyofasiyal morfoloji, hyoid kemигinin konumu ve birinci servikal vertebranın morfolojisinin incelenmesi ve varsa mevcut farklılıkların ortaya konulmasıdır.

MATERIAL VE METOD

Bu çalışmanın materyalini, 13-15 yaşlar arasında 45 kız, 45 erkek toplam 90 bireyden, doğal baş konumunda elde edilen lateral sefalometrik filmler oluşturmaktadır.

Bireylerin seçiminde, önceden ortodontik tedavi görmemiş olmasına, rahat burun solunumu yapabilmesine, yutkunma bozukluğu, görme ve işitme kaybı olmasına, baş ve boyun bölgesinde yara-yanık ve skatris dokusu bulunmamasına dikkat edilmiştir.

Doğal baş konumunun belirlenebilmesinde self balans pozisyon (33), elde edilen doğal baş konumunun değiştirilmeden radyograflere aktarılabilir mesinde ise su terazisi aygıtı kullanılmıştır (34).

Elde edilen filmler ANB açısına göre, Gazilerli (35)'nin Türk çocukların ilişkin normları esas alınarak, ANB açısı 1 dereceden küçük, 1-5 derece arasında ve 5 dereceden büyük olmak üzere üç gruba, cinslere göre de iki alt grubaya ayrıldı. Daha sonra bu filmler üzerinde sefalometrik tanımlar bölümünde belirtilen boyutsal ve açısal ölçümler oluşturuldu.

Çizim ve ölçümlere ilişkin metot hata kontrolünü yapabilmek için, ilk çizim ve ölçümlerden 15 gün sonra, 90 filmden gelişigüzel örneklem tablosu kullanılarak seçilen 30 tanesinin çizim ve ölçümleri yenilendi. Birinci ve ikinci ölçümler "Eşleştirilmiş Testi" aracılığı ile karşılaştırıldı.

ANB açısından farklılığı göre oluşturulan gruplarda, incelenen ölçümlein minimum, maksimum, ortalama ve standart sapma değerleri belirlendi. Cinsiyet farklılığının önemli olduğu ölçümlede bu değerler her iki cins için ayrı ayrı belirlenirken, önemli cinsler arası farklılık göstermeyen ölçümlede kız ve erkek birleşik gruplar için belirlenen değerler verildi. ANB açısı ve cinsiyetin; dik yön kranyo-fasiyal yapılar, hyoid kemигinin konumu ve birinci servikal vertebranın morfolojisine etkilerini belirleyebilmek amacıyla varyans analizi uygulandı. ANB açısından farklılığın önemli olduğu ölçümlede LSD, ANB cinsiyet etkileşiminin önemli olduğu ölçümlede ise Duncan testi uygulanarak önemliliğin nereden kaynaklandığı araştırıldı (36).

SEFALOMETRİK TANIMLAR

A. Noktalar (Şekil 1)

1. Nasion (N): Fronto-nazal suturanın en ön noktası
2. Sella (S): Sella turcica'nın merkezi
3. Artikülare (a): Alt çene kemigi kondilinin arka kenarının sifenoïd kemigin tabanı ile kesiştiği noktası.
4. Spina Nazalis Anterior (ANS): Anterior nazal spinanın en ön ve uç noktası
5. Spina Nazalis Posterior (PNS): Posterior nazal spinanın en arka ve uç noktası

6. Pogonion (Pog): mandibular simfizin en ön noktası
7. Gnathion (Gn): Mandibular simfizin en ön ve en alt noktası
8. Menton (Me): Mandibular simfizin en alt noktası
9. Kondilion (Cd): Mandibular kondilin en üst ve en arka noktası
10. Hyoid (Hy): Hyoid kemiği gövdesinin en üst ve en ön noktası
11. Hyoid' (Hy'): Hyoid kemiğinin büyük boynuzunun en arka ve en üst noktası
12. CV4^P: Dördüncü servikal vertebranın en arka ve en alt noktası
13. CV2^{Ig}: İkinci servikal vertebranın en arka ve en üst noktası

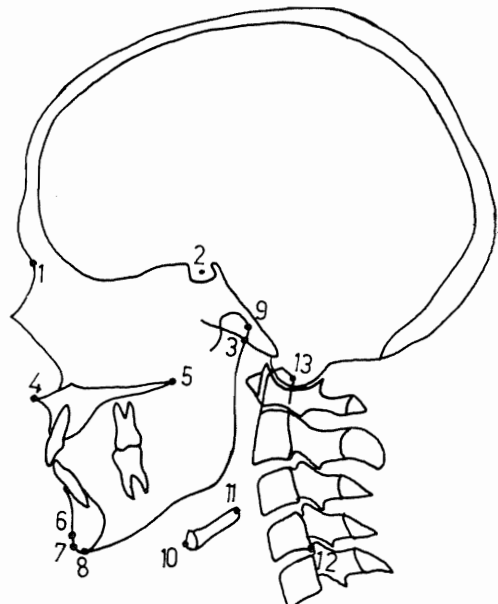
B. Düzlemler

1. NSL: Sella-nasion düzlemi. S ve N noktalarını birleştiren düzlem
2. NL: Spinalar düzlemi. ANS ve PNS noktalarını birleştiren düzlem
3. ML: Mandibular düzlem. Me ile alt çene alt arka kenarını birleştiren düzlem
4. MBL: Gn ve Cd noktalarını birleştiren düzlem
5. RL: Ramus düzlemi. Alt çene ramus bölgesine teğet geçen düzlem
6. CVT: CV2^{Ig} ve CV4^P noktalarını birleştiren düzlem
7. Hy-Hy': Hyoid düzlemi. Hy ve Hy' noktalarını birleştiren düzlem.

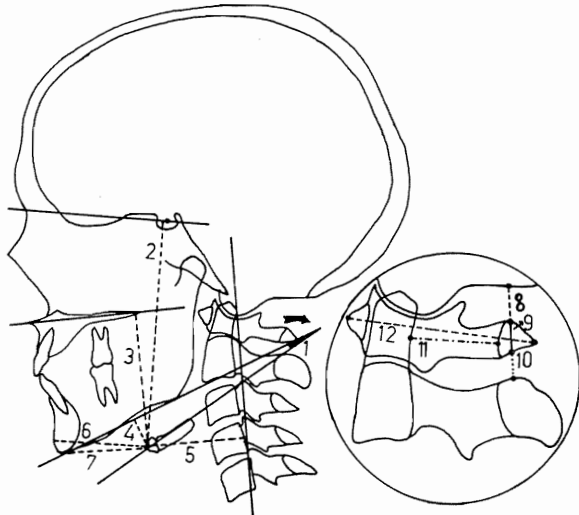
C. Açısal ve boyutsal ölçümler

- I. Dik yön krano-fasiyal yapılara ilişkin ölçümler (Şekil 2)
 1. N-S-a: N, S, a noktalarını birleştiren doğrular arasında S noktasında oluşan açı
 2. NSL/ML: Sella-nasion düzlemi ile alt çene düzlemi arasında oluşan açı
 3. NL/ML: Spinalar düzlemi ile alt çene düzlemi arasında oluşan açı

4. MBL/ML: Gn-Cd düzlemi ile alt çene düzlemi arasında oluşan açı
5. RL/ML: Ramus düzlemi ile alt çene düzlemi arasında oluşan açı
6. N-ANS: N ve ANS noktaları arasındaki uzaklık
7. N-Me: N ve Me noktaları arasındaki uzaklık
8. ANS-Me: ANS ve Me noktaları arasındaki uzaklık
9. Gn-Cd: Gn ve Cd noktaları arasındaki uzaklık
- II. *Hyoid kemiğinin konumu ve birinci servikal vertebranın yapısına ilişkin ölçümler (Şekil 3).*
 1. Hy-Hy'/ML: Hyoid düzlemi ile alt çene düzlemi arasında oluşan açı
 2. Hy-NSL: Hy noktası ile sella-nasion düzlemi arasındaki dik uzaklık
 3. Hy-NL: Hy noktası ile spinalar düzlemi arasındaki dik uzaklık
 4. Hy-ML: Hy noktası ile alt çene düzlemi arasındaki dik uzaklık
 5. Hy-CVT: Hy noktası ile CVT doğrusu arasındaki dik uzaklık
 6. Hy-Pog: Hy noktası ile Pog noktası arasındaki uzaklık
 7. Hy-Me: Hy noktası ile Me noktası arasındaki uzaklık
 8. X: Oksipital kemiğin alt sınırı ile birinci servikal vertebranın dorsal arkının en üst noktası arasındaki uzaklık
 9. Y: Birinci servikal vertebranın dorsal arkının en üst ve en alt noktaları arasındaki uzaklık
 10. Z: Birinci servikal vertebranın dorsal arkının en alt noktası ile ikinci servikal vertebranın spinal kıvrımlısının en üst noktası arasındaki uzaklık
 11. Lum: İkinci servikal vertebranın odontoid proçesinin arka sınırı ile birinci servikal vertebranın dorsal arkının ön sınırı arasındaki uzaklık
 12. a-p: Birinci servikal vertebranın anterior tuberkülünün en ön noktası ile dorsal arkının en arka noktası arasındaki uzaklık.



Şekil 1: Araştırmamızda Kullanılan Sefalometrik Noktalar.

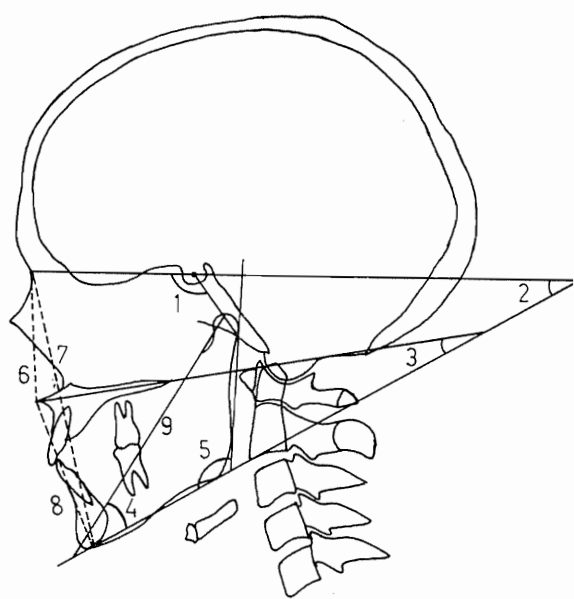


Şekil 3: Hyoid Kemiğinin Konumu ve Birinci Servikal Vertebranın Yapısına İlişkin Ölçümler.

BULGULAR

Araştırma kapsamına alınan bireylerde, incelenen tüm ölçümllerin minimum, maksimum, ortama ve standart sapma değerleri, ANB açısından farka göre oluşturulurulan her bir grup için ayrı ayrı belirlenerek Tablo I'de verilmiştir.

Sefalometrik çizim ve ölçümllerin, metod hata kontrolü için uygulanan "Eşleştirilmiş t Testi" sonucunda, söz konusu çizim ve ölçümllerin biometrik olarak önemli düzeyde olmayan bir hata ile tekrarlanabildiği belirlenmiştir ($p>0.05$).



Şekil 2: Dik Yön Krano-Fasiyal Yapılara İlişkin Ölçümler.

ANB açısı ve cinsiyetin, dik yön krano-fasiyal morfoloji, hyoid kemiğinin konumu ve birinci servikal vertebranın morfolojisine etkilerini incelemek için uygulanan varyans analizi sonuçları Tablo II'de verilmiştir. Bu tablonun incelenmesiyle de görülebileceği üzere, dik yön krano-fasiyal yapıların, ANB açısından değişimden ve cinsiyet farklılığından önemli düzeyde etkilenmediği bulunmuştur. Hyoid kemiğinin ön-arka yön konumunu belleyen değişkenlerden Hy-Pog ($p<0.01$) ve Hy-Me ($p<0.01$) ölçümllerinin ANB açısından değişimden önemli düzeyde etkilendikleri ve bu açının büyük olduğu grupparda, hyoid kemiğinin daha önde konumladığı belirlenmiştir. Ayrıca Hy-NSL ve Hy-Pog ölçümleri 0.05, Hy-Me ölçü ise 0.01 düzeyinde önemli cinsiyet farklılığı göstermiştir. Birinci servikal vertebranın genel olarak ANB açısı farklı gruplar arasında önemli düzeyde yapısal farklılık göstermediği, ancak ANB açısı büyük olan grupparda lumen genişliğinin önemli düzeyde arttığı ($p<0.05$) gözlenmiştir. Birinci servikal vertebranın yapısını belleyen değişkenlerden, yalnızca ön-arka yön uzunluğunu gösteren a-p ölçümü önemli düzeyde cinsiyet farklılığı

Tablo I. ANB açısından sırka göre oluşturulan gruplarda ölçümlerin dağılımı

	ANB<1 n=30				1≤ANB≤5 n=30				ANB>5 n=30			
	Min.	Mak.	Ort.	S.Sap.	Min.	Mak.	Ort.	S.Sap.	Min.	Mak.	Ort.	S.Sap.
N-S-a (açı)	113.0	136.5	127.03	± 5.79	116.0	133.0	125.50	±4.45	115.0	140.5	126.32	±6.11
NSL/ML (açı)	22.5	45.5	34.32	± 5.67	23.0	47.0	33.82	±6.14	26.0	50.0	37.03	±5.98
NL/ML (açı)	14.5	35.5	26.10	± 5.59	10.0	36.5	25.08	±6.26	13.0	40.0	28.37	±6.10
MBL/ML (açı)	19.5	30.5	24.27	± 3.11	19.0	34.0	26.08	±3.74	17.0	31.0	24.75	±3.04
RL/ML (açı)	110.0	145.0	126.42	± 7.48	111.5	137.5	124.77	±6.55	77.0	142.5	124.20	±11.1
Hy-Hy'/ML (açı)	0.5	26.0	6.93	± 6.75	0.5	24.0	7.75	±6.58	0.5	23.0	8.17	±5.45
N-ANS (mm)	47.5	63.0	53.45	± 3.61	49.0	61.0	54.68	±2.87	48.5	61.0	54.67	±3.05
N-Me (mm)	106.0	138.5	121.90	± 8.56	109.0	139.5	121.15	±7.35	112.0	138.5	121.05	±5.69
ANS-Me (mm)	55.5	82.0	68.87	± 6.31	58.5	80.0	68.20	±5.37	60.0	81.5	69.57	±4.75
Gn-Cd (mm)	69.0	138.5	120.30	±11.90	109.5	132.0	119.55	±5.10	108.0	125.0	115.98	±4.89
Hy-NSL (mm)												
Kız	90.0	107.0	99.70	± 5.28	93.5	111.5	102.27	±5.61	89.0	124.5	103.70	±9.74
Erkek	88.0	125.5	104.90	±10.60	95.0	118.0	108.87	±5.50	90.5	111.5	101.47	±6.18
Hy-NL (mm)	46.5	72.5	58.35	± 6.78	48.5	74.0	61.07	±6.31	47.0	77.0	58.37	±6.93
Hy-ML (mm)	2.0	95.5	14.20	± 2.90	1.0	24.0	14.55	±4.56	0.0	27.0	12.85	±5.79
Hy-CVT (mm)	43.5	65.0	50.67	± 4.82	44.0	57.0	49.92	±3.23	43.0	57.0	48.57	±3.46
X (mm)	1.0	12.0	7.03	± 2.79	0.5	19.0	7.15	±3.96	0.5	16.5	9.00	±3.81
Y (mm)	7.0	20.5	10.60	± 2.39	7.0	13.0	10.02	±1.54	7.0	15.5	9.70	±2.04
Z (mm)	0.5	12.5	5.62	± 3.25	2.0	13.0	5.53	±2.43	3.0	11.0	5.85	±2.08
a-p (mm)												
Kız	42.0	50.5	46.93	± 2.60	43.0	53.5	47.23	±2.96	41.5	53.0	46.70	±2.70
Erkek	43.0	52.5	47.77	± 2.90	43.5	53.0	48.97	±2.54	45.5	53.5	48.53	±2.49
Lum (mm)	17.0	24.0	20.22	± 1.87	16.0	27.0	20.97	±2.43	18.0	26.0	21.52	±1.67
Hy-Pog (mm)												
Kız	44.5	62.5	53.60	± 6.05	40.5	61.5	51.87	±5.80	39.0	54.5	48.5	±5.00
Erkek	40.0	56.5	49.43	± 5.70	42.0	58.0	50.60	±5.29	34.0	55.5	45.5	±5.53
Hy-Me (mm)												
Kız	38.0	59.0	48.10	± 6.13	36.0	56.0	45.93	±5.39	30.0	49.5	42.70	±5.53
Erkek	34.5	54.5	44.23	± 5.57	35.0	49.5	43.17	±4.64	29.0	48.5	39.27	±5.71

gösterirken ($p<0.05$), diğer ölçümlerin önemli cinsler arası farklılık göstermediği belirlenmiştir.

ANB açısından değişimden önemli düzeyde etkilenen ölçümlerde, önemliliğin hangi gruplar arasında olduğunu belirlemek için uygulanan LSD testi sonuçları Tablo III'de verilmiştir. Bu test sonucunda Hy-Pog ölçümü için; ANB<1 ile ANB>5 grupları arasında ve 1≤ANB≤5 ile ANB>5 grupları arasında 0.01, Hy-Me ölçümü için;

ANB<1 ile ANB>5 grupları arasında 0.01 ve 1≤ANB≤5 ile ANB>5 grupları arasında 0.05 düzeyinde, Lum ölçümü için de, ANB<1 ile ANB>5 grupları arasında yine 0.05 düzeyinde önemli farklılıklar belirlenmiştir.

ANBX cinsiyet etkileşiminin önemli olduğu HY-NL ölçümlü için uygulanan Duncan testi sonucunda ise, 1≤ANB≤5 erkeklerde, ANB<1 kızlar arasında ve 1≤ANB≤5 erkeklerle ANB>5 erkekler arasında 0.05 düzeyinde önemli farklılıklar olduğu tespit edilmiştir.

Tablo II. Varyans analizi sonuçları

FAKTÖRLER ÖLÇÜMLER		ANB	Cinsiyet	ANB X Cinsiyet
Serbestlik Derecesi		2	1	2
N-S-a	(açı)	0.60	0.26	2.78
NSL/ML	(açı)	2.51	1.08	0.28
NL/ML	(açı)	2.33	0.42	0.77
MBL/ML	(açı)	2.37	0.04	0.75
RL/ML	(açı)	0.50	0.01	0.07
Hy-Hy'/ML	(açı)	0.30	2.72	0.92
N-ANS	(mm)	1.42	0.34	0.15
N-Me	(mm)	0.11	0.13	0.61
ANS-Me	(mm)	0.46	0.006	1.62
Gn-Cd	(mm)	2.48	0.00	0.82
Hy-NSL	(mm)	1.76	4.05*	3.01
Hy-NL	(mm)	1.73	1.27	3.28*
Hy-ML	(mm)	0.23	0.60	0.66
Hy-CVT	(mm)	2.28	2.55	1.01
X	(mm)	2.89	0.61	1.37
Y	(mm)	1.52	0.92	0.94
Z	(mm)	0.11	0.07	0.55
a-p	(mm)	0.59	6.62*	0.31
Lum	(mm)	3.22*	1.01	2.23
Hy-Pog	(mm)	6.19**	5.73*	0.51
Hy-Me	(mm)	6.74**	8.33**	0.07

* $p<0.05$

** $p<0.01$

Tablo III. LSD testi sonuçları

ÖLÇÜMLER	ORTALAMALAR			KARŞILAŞTIRMALAR		
	1.Grup ANB<1	2.Grup 1≤ANB≤5	3.Grup ANB>5	1-2	1-3	2-3
Lum (mm)	20.22	20.97	21.52	-0.75	-1.30*	-0.55
Hy-Pog (mm)	51.51	51.23	47.00	0.28	4.51**	4.23**
Hy-Me (mm)	46.16	44.56	40.98	1.60	5.18**	3.58*

* p<0.05 **p<0.01

TARTIŞMA

Orthodontik teşhis ve tedavi planlaması açısından, yüzün ön-arka ve dik yön boyutları büyük önem taşımaktadır. Bu nedenle, normal ve anormal yüz yapısına sahip bireylerde dentofasiyal ve kranyofasiyal ilişkilerin tanımlanması ortodonti literatüründe önemli bir yer işgal etmektedir. Bu çalışmalar, insan yüzünün normal değişim aralığının belirlenmesi ve değişik yüz tiplerinin ayrimına yönelik çabaları da beraberinde getirmiştir (37).

Schudy (38, 39), yüzün dik yön boyutlarının değişik yüz tiplerinin oluşumunda önemli rol oynadığını ve maloklüzyonların genellikle dikey boyuttaki değişimlerin bir sonucu olduğunu belirtmiştir. Yüzün dik yön boyutlarının, değişik yüz tiplerinin oluşumu yanında, yüz iskeletinin sagital yön boyutları üzerinde de etkili olduğunu gösterilmiş olmasının konunun bir başka boyutunu ortaya çıkarmıştır (39-43). Tüm bu görüşler, kranyofasiyal kompleks'in ön-arka ve dikey yönde aynı anda incelenmesinin, kranyofasiyal yapıların bütünlüğü açısından daha uygun olduğunu ortaya koymuştur (44).

Arat ve arkadaşları (1, 2, 44-46), çalışmamızdaki yönteme benzer bir tarzda ANB açısından farka göre bireyleri iskeletsel sınıf 1, 2 ve 3 olarak üç gruba ayırmış ve bu gruplarda dik yön kranyofasiyal yapıları değerlendirmiştir. Bu araştırmacıların çalışmaları sonucunda elde ettikleri, yüzün sagital ve vertikal iskelet yapısının genelde birbirinden bağımsız olduğu, yüzün dik yön gelişiminin genelerin ön-arka yön ilişkisi ile önemli düzeyde ilişki göstermediği ve dik yön kranyofasiyal yapıyı belirleyen ölçümülerin ANB açısı farklı gruplar arasında genelde önemli farklılık göstermediği şeklindeki bulguları, bulgularımızla aynı paraleldedir. Ancak bu araştırmacıların, dik yön kranyofasiyal yapıları belirleyen bazı ölçümelerde önemli cinsler arası farklılık belirlemiş olmaları bulgularımızla ilişmektedir.

Aynı şekilde Cole (27), Sosa ve arkadaşları (47) ve Köklü (48)'nın, önemli düzeyde ANB farkı gösteren normal ve maloklüzyonlu bireylerden oluşan gruplar arasında

dik yön kranyofasiyal yapılarının genel olarak önemli düzeyde farklılık göstermediği şeklindeki bulguları da bulgularımızla uyumludur. Ancak yine Sosa ve arkadaşları (47)'nin, bazı ölçümelerde önemli cinsiyet farklılığı belirlemeleri bulgularımızla uyum göstermemektedir. Bu araştırmacıların, bulgularını daha küçük yaş grubu bireylerde elde etmiş olmaları, kısmen bu farklılıktan sorumlu tutulabilir.

Tallgren ve Solow (10)'un önemli düzeyde ANB farkı gösteren 3 ayrı yaş grubunda elde ettikleri bulgularla, bulgularımız kısmen paralellik gösterirken kısmen çelişmektedir. Bu araştırmacılar, total ön yüz yüksekliği, alt ön yüz yüksekliği ve alt çene eğiminin bazı gruplar arasında önemli değişiklikler gösterdiğini, üst ön yüz yüksekliği ve alt çenenin dik yön şeklini belirleyen bazı ölçümllerin ise önemli farklılık göstermediğini belirlemiştir. Bu araştırmacıların, bulgularını tekbir cinsten oluşan yetişkin bireylerde belirlemeleri, aralarında önemli ANB farklılığı olmasını rağmen söz konusu çalışmamızdaki bireylerin tamamının ANB açısı itibarı ile çalışmamızda bu açısının 1-5 derece arasında olduğu gruba düşmesi, bulgularımızdaki farklılıklardan sorumlu olabilir.

Guyer ve arkadaşları (49), yine önemli düzeyde ANB farklı gösteren sınıf 1 ve sınıf 3 maloklüzyonlu iki grupta dik yön kranyofasiyal yapıları karşılaştırmış ve 13-15 yaş grubunda önemli düzeyde farklılıklar belirlemiştir. Bu araştırmacılar, sınıf 3 iskelet yapıda alt çene düzlemi açısı ile total ve alt ön yüz yüksekliğinin önemli düzeyde daha büyük olduğunu belirlemiştir. Aynı yaş gruplarında çalışılmışmasına rağmen, söz konusu çalışmanın bulguları ile bulgularımız arasında önemli farklılıklar olması dikkat çekicidir. Bu araştırmacıların, çalışmalarında inceledikleri Amerikalı bireylerle çalışmamızdaki bireylerin kranyofasiyal yapı farklılıklarını ve bazı metodolojik farklılıklar vurgulamak dışında, elde edilen zıt bulguların tamamen izah edilebilmesi güçtür.

Opdebeeck ve arkadaşları (12) ve Bishara ve Jacobsen (37) ise, dik yön gelişimlerine göre oluşturdukları örnek gruplarında kranyofasiyal yapıları belirleyen ölçümlelerini incelemiştir ve önemli düzeyde farklılıklar ortaya koymuş

lardır. Opdebeeck ve arkadaşları (12)'nın örnek grubu dik yön yüz gelişimlerine göre sınıflandırılmış ise de, bu bireylerin ANB açısından farklılıkla belirlendiği üzere sagital yön gelişimleri de önemli düzeyde farklıdır. Ancak burada seçimi etkileyen asıl faktör dik yön yüz gelişimi olduğundan söz konusu çalışmadan, sagital yön yüz gelişimi farklı bireylerde dik yön kranyofasiyal yapıların da önemli farklılık gösterdiği sonucunu çıkarmak güçtür.

Bishara ve Jacobsen (37)'in örnek grubu ise sagital yön yüz gelişimleri önemli farklılık gösteren bireylerden oluştuğundan, söz konusu çalışmanın sonuçları da yüzün vertikal ve sagital yön gelişiminin birbirinden bağımsız olabileceğinin şeklindeki görüşü doğrulamaktır, ya da yüzün gerek vertikal gerekse sagital yön gelişimini değerlendirmede yararlanılan ölçütlerin ne ölçüde güvenilir olarak yüzdeki bu gelişim şekillerini temsil edebilecekleri sorusunu hatırlatır.

Fromm ve Lundberg (50), normal oklüzyonlu ve mandibular prototrüzyonlu yetişkin bireylerde, hyoid kemигinin konumunu karşılaştırmış ve iki maloklüzyon grubu arasında hyoid kemигinin dik yön konumunda genellikle önemli farklılık olmadığını, ancak ön-arka yön konumunda özellikle kadınlar arasında olmak üzere önemli farklılığın olduğunu belirlemiştirlerdir. Bu araştırmacılar, mandibular prototrüzyonlu kadınlarında hyoid kemигinin önemli düzeyde daha önde konumlandığını saptamışlardır. Araştırmamızda da, hyoid kemигinin özellikle dik yön konumunun ANB açısından değişimden etkilenmediğinin, ön-arka yön konumunun ise bazı önemli farklılıklar gösterdiğinin belirlenmiş olması nedeni ile, bulgularımızla Fromm ve Lundberg (50)'in bulgularının paralellik gösterdiği kabul edilebilir. Ancak bu araştırmacıların, mandibular prototrüzyonlu kadınlarında hyoid kemигinin daha önde konumlandığı şeklindeki bulguları, bulgularımıza terstir. Zira çalışmamızda, ANB açısının 1 dereceden küçük olduğu grupta, hyoid kemигinin diğer gruptakine oranla daha geride konumlandığı belirlenmiştir.

Opdebeeck ve arkadaşları (12)'nın, ANB açısı büyük olan grupta hyoid kemигinin önemli düzeyde daha geride, Cole (27)'un, iskeletsel sınıf 2 grubunda sınıf 3'e oranla hyoid kemигinin önemli düzeyde daha geride ve aşağıda, Adamidis ve Spyropoulos (51)'un ise, sınıf 3 iskelet yapıda hyoid kemигinin sınıf 1'e oranla önemli düzeyde daha önde konumlandığı ve daha fazla geriye doğru eğimlendiği şeklindeki bulguları, bulgularımızla büyük ölçüde farklılıklar göstermektedir. Şöyledi, araştırmamızda ANB açısı büyük olan grupta hyoid kemигinin daha önde konumlandığı, bu kemigin dik yön konumunun ve eğimin ise ANB açısından değişimden etkilenmediği bulunmuştur. Bu farklılıklar, kısmen hyoid kemигinin ön-arka yön konumunu belirlemeye kullanılmıştır. Hy-Pog ve Hy-Me ölçümünün, bu kemigin dik yön konumuna da bağlı olarak değişmesinden kaynaklanabilir. Çünkü, araştırmamızda yine hyoid kemигinin ön-arka yön ko-

numunu belirlemeye kullanılmıştır. Hy-CVT ölçümü, Hy-Pog ve Hy-Me ölçümünden farklı olarak, önemli düzeyde olmasa da hyoid kemигinin ANB açısı büyük olan gruptarda daha geride konumlandığını göstermektedir. Bu ölçüler arasındaki ilişki, Opdebeeck ve arkadaşları (12)'nın çalışmada da gözlenmektedir. Yine, ANB açısına göre yapılan gruplamadaki ve röntgenler alınırken başın pozisyonlandırılmamasındaki farklılıklar ve yaş etkeni de bu araştırmacıların bulguları ile bulgularımız arasındaki farklılıklardan sorumlu tutulabilir.

Dışsel sınıflamayı esas alarak oluşturdukları gruptarda hyoid kemигinin konumunu inceleyen araştırmacıdan Grant (16), hyoid kemигinin dışsel sınıf I, II ve III maloklüzyon gruptarı arasında önemli konumsal farklılık göstermediğini belirlerken, Sloan ve arkadaşları (52) ise, dışsel sınıf I grubunda hyoid kemигinin sınıf II grubundakine oranla önemli düzeyde daha aşağıda ve geride konumlandığını saptamışlardır. Dışsel sınıflamanın iskeletsel yapıyı tam olarak temsil etmesi mümkün olmadıktan, bu çalışmalarında elde edilen bulgularla bulgularımızın karşılaştırılması çok fazla anlam ifade etmeyecektir. Ancak yine de Sloan ve arkadaşları (52)'nın, dışsel sınıf I grubunda hyoid kemигinin sınıf II grubundakine oranla daha önde konumlandığı şeklindeki bulguları bulgularımızla uyumlu kabul edilebilir.

Krano-servikal postürle ilgili çalışmalar hariç tutulursa, servikal vertebralın yapısal ve konumsal açıdan ve kranyofasiyal morfoloji ile ilgileri açısından incelendiği çalışma sayısı sınırlıdır.

Treuenfels (31), maksiller prognati ve mandibular progeni vakalarında birinci servikal vertebranın konumunu incelemiştir ve bazı önemli farklılıklar belirlemiştir. Araştırmacı ayrıca, atlas pozisyonu ile ANB açısı arasında önemli düzeyde bir ilişkinin varlığını söylemiştir. Ancak Treuenfels (31), atlasın konumundaki bu farklılığı çene yapısındaki anomaliden ziyade başın konumundaki değişimle bağlamıştır.

Kylämarkula ve Huggare (29) ve Huggare ve Kylämarkula (32) ise, birinci servikal vertebrayı yapısal yönden incelemiştir. Bu araştırmacılar, baş postüründeki değişim ve adenoid vegetasyona bağlı olarak atlasın yapısında bazı önemli değişiklikler olduğunu ortaya koymışlardır. Huggare ve Kylämarkula (32), ayrıca adenoidleri büyümüş çocukların daha retrognatik çene yapısına sahip oldukları ve bu çocukların atlasın dorsal arkının yüksekliğinin normal bireylerden daha küçük olduğunu, ventral arkın yüksekliğinde ve atlasın ön-arka yön boyutlarında ise önemli bir değişikliğin olmadığını belirlemiştir. Bu araştırmacılar, dorsal arkın yüksekliğindeki artışı büyük ölçüde adenoidleri büyümüş çocukların görülen ekstansif postüre bağlamışlardır.

Araştırmamızda, atlasın lumen genişliği dışındaki ölçümelerin ANB açısından farklılıktan önemli düzeyde etkilen-

mediğinin bulunmuş olması, atlas kemiğinin yapısal olarak çenelerin ön-arka yön ilişkisindeki farklılıktan fazla etkilenmediğini göstermektedir. Atlas lümeninin ön-arka yön boyutunda gözlenen önemli değişim ise Kylämarkula ve Huggare (29)'nın de belirttikleri gibi, ön-arka yönde atlas lümeninin büyümesinin farklı bir kontrol mekanizmasının etkisi altındamasına bağlanabilir.

SONUÇLAR

1. ANB açısından değişim, dik yön krano-fasiyal yapıları önemli düzeyde etkilememiştir.
2. Hyoid kemiğinin dik yön konumu ANB açısından değişimden önemli düzeyde etkilenmezken, ön-arka yön konumu bazı önemli değişiklikler göstermiştir. ANB açısının büyük olduğu gruptarda hyoid kemiği önemli düzeyde daha önde konumlanmıştır.
3. Birinci servikal vertebranın, ANB açısı farklı gruplar arasında genel olarak önemli bir yapısal farklılık göstermediği, yalnızca ön-arka yönde lümen genişliğinin ANB açısından artışa paralel olarak önemli düzeyde arttığı belirlenmiştir.

YARARLANILAN KAYNAKLAR

- 1- Arat M, Özüler E, İşeri H Maloklüzyonlu bireylerde iskelet yanının incelenmesi (2). An Üniv Dişhek Fak Derg 1985 12: 87-9
- 2- Arat M, Özüler E, İşeri H Maloklüzyonlu bireylerde iskelet yanının incelenmesi (1). An Üniv Dişhek Fak Derg 1985 12: 83-5
- 3- Freeman RS Adjusting A-N-B angles to reflect the effect of maxillary position. Angle Orthod 1981 51: 162-71
- 4- Downs WB Variation in facial relationship: their significance in treatment and prognosis. Am J Orthod 1948 34: 812-40
- 5- Riedel RA Esthetics and its relation to orthodontic therapy. Angle Orthod 1950 20: 168-78
- 6- Bosma JF Maturation of function of the oral and pharyngeal region. Am J Orthod 1963 49: 94-104
- 7- Bench RW Growth of the cervical vertebrae as related to tongue, face and denture behavior. Am J Orthod 1963 49: 183-214
- 8- Gustavsson W, Hansson G, Holmqvist A, Lundberg M Hyoid bone position in relation to head posture. Swed Dent J 1972 65: 411-19
- 9- Gruber LW Hyoid changes following orthopedic treatment of mandibular prognathism. Angle Orthod 1978 48: 33-8
- 10-Tallgren A, Solow B Hyoid bone position facial morphology and head posture in adults. Eur J Orthod 1987 9: 1-8
- 11- King EW A roentgenographic study of pharyngeal growth. Angle Orthod 1952 22: 23-37
- 12- Opdebeeck H, Bell WH, Eisenfeld J, Mishelevich D Comparative study between the SFS and LFS rotation as a possible morphogenetic mechanism. Am J Orthod 1978 74: 509-21
- 13- Biby RE The hyoid bone position in mouth breathers and tongue-thrusters. Am J Orthod 1984 85: 431-33
- 14- Ingervall B, Carlsson GE, Helkimo M Change in location of hyoid bone with mandibular positions. Acta Odont Scand 1970 28: 337-61
- 15- Ingervall B Positional changes of mandible and hyoid bone relative to facial and dental arch morphology: A biometric investigation in children with postnormal occlusion (Angle class II div 1). Acta Odont Scand 1970 28: 867-94
- 16- Grant LE A radiographic study of the hyoid bone position in Angle's Class I II and III malocclusions. (Dissertation) University of Kansas City Missouri 1959 (Alınmıştır-Graber (9))
- 17- Subtelny J, Sakuda M Open-bite: Diagnosis and treatment. Am J Orthod 1964 50: 337-58
- 18- Cuozzo GS, Bowman DC Hyoid positioning during deglutition following forced positioning of the tongue. Am J Orthod 1975 68: 564-70
- 19- Gobeille DM, Bowman DC Hyoid and muscle changes following distal repositioning of the tongue. Am J Orthod 1976 70: 282-89
- 20- Ceylan İ Değişik ANB açılarında doğal baş konumu ve hyoid kemiğinin konumunun incelenmesi. Doktora Tezi Erzurum 1990
- 21- Solow B, Tallgren A Head posture and craniofacial morphology. Am J Phys Anthrop 1976 44: 417-36
- 22- Solow B, Tallgren A Dentoalveolar morphology in relation to craniocervical posture. Angle Orthod 1977 47: 157-64
- 23- Marcotte MR Head posture and dentofacial proportions. Angle Orthod 1981 51: 208-213
- 24- Daly P, Preston CB, Evans WG Postural response of the head to bite opening in adult males. Am J Orthod 1982 82: 157-60
- 25- Solow B, Siersbaek-Nielsen S Airway adequacy head posture and craniofacial morphology. Am J Orthod 1984 86: 214-23
- 26- Solow B, Siersbaek-Nielsen S Growth changes in head posture related to craniofacial development. Am J Orthod 1986 89: 132-40
- 27- Cole SC Natural head position, posture, and prognathism: the chapman prize essay. 1986 Br J Orthod 1988 15: 227-39
- 28- Brodie AG Emerging concepts of facial growth. Angle Orthod 1971 41: 103-18
- 29- Kylämarkula S, Huggare J Head posture and the morphology of the first cervical vertebra. Eur J Orthod 1985 7: 151-6

- 30- Tulsi RS Growth of the human vertebral column An Osteological study. *Acta Anatomica* 1971 79: 570-80
- 31- Treuenfels H Die relation der atlasposition bei prognathie und progene kieferanomalie. *Fortschr Kieferorthop* 1981 42: 482-91
- 32- Huggare J, Kylämarkula S Morphology of the first cervical vertebra in children with enlarged adenoids. *Eur J Orthod* 1985 7: 93-6
- 33- Solow B, Tallgren A Natural head position in standing subjects. *Acta Odont Scand* 1971 29: 591-607
- 34- Showfety KJ, Vig PS, Matteson S A simple method for taking natural head-position cephalograms. *Am J Orthod* 1983 83: 495-500
- 35- Gazilerli Ü Normal kapanışlı 13-16 yaşlar arasındaki Ankara çocukların Steiner normları. *Doçentlik Tezi Ankara* 1976
- 36- Keppel G Design and analysis: A researcher's handbook. Prentice-Hall Inc Englewood Cliffs New Jersey 1973 596
- 37- Bishara SE, Jacobsen JR Longitudinal changes in three normal facial types. *Am J Orthod* 1985 88: 466-502
- 38- Schudy FF Cant of the occlusal plane and axial inclinations of teeth. *Angle Orthod* 1963 33: 69-82
- 39- Schudy FF Vertical growth versus antero-posterior growth as related to function and treatment. *Angle Orthod* 1964 34: 78-81
- 40- Sassouni V, Nanda S Analysis of dentofacial vertical proportions. *Am J Orthod* 1964 50: 801-23
- 41- Sassouni V A classification of skeletal facial types. *Am J Orthod* 1969 55: 109-23
- 42- Nahoum HI, Horowitz SL, Benedicto EA Varieties of anterior openbite. *Am J Orthod* 1972 61: 486-92
- 43- Nemeth RB, Isaacson RI. Vertical anterior relapse. *Am J Orthod* 1974 65: 565-85
- 44- Arat M, İşeri H, Özdi̇ler E Maloklüzyonlu bireylerde iskelet yapının incelenmesi. *An Üniv Dişhek Fak Derg* 1989 16: 29-34
- 45- Arat M, Gürbüz F, Bayazıt Z, Berksü B Positionelle und morphologische beziehungen des gesichtschadels. *Fortschr Kieferorthop* 1988 49: 513-21
- 46- Arat M, Erdem D, Gögen H. Normal oklüzyonlu bireylerde iskelet yapının incelenmesi. *Türk Ortodonti Derg* 1992 5: 146-52
- 47- Sosa FA, Gruber TM, Muller TP Postpharyngeal lymphoid tissue in Angle class I and class II malocclusions. *Am J Orthod* 1982 81: 299-309
- 48- Köklü A Hipodiverjan kraniyofasiyal yapıda tedavi ile ulaşılması gereken kesici diş konumları ve ANB açısı. *Türk Ortodonti Derg* 1991 4: 73-88
- 49- Guyer EC, Ellis EE, McNamara JA, Behrents RG Components of class III malocclusion in juveniles and adolescents. *Angle Orthod* 1986 56: 7-30
- 50- Fromm B, Lundberg M Postural behaviour of the hyoid bone in normal occlusion and before and after surgical correction of mandibular protrusion. *Swed Dent J* 1970 63: 425-33
- 51- Adamidis IP, Spyropoulos MN Hyoid bone position and orientation in class I and class III malocclusions. *Am J Orthod Dentofac Orthop* 1992 101: 308-12
- 52- Sloan RF, Bench RW, Mulick JF, Ricketts RM, Brummett SW, Westover JL The application of cephalometrics to cineradiography: Comparative analysis of hyoid movement patterns during deglutition in class I and class II orthodontic patients. *Angle Orthod* 1967 37: 26-34

YAZIŞMA ADRESİ:

Yrd. Doç. Dr. İsmail CEYLAN
Atatürk Üniversitesi
Diş Hekimliği Fakültesi
Ortodonti Anabilim Dalı
25240/ERZURUM